

ВОЗМОЖНОСТИ ОФЭКТ С ЦИТРАТОМ GA-67 И ПЭТ/КТ С 18-ФДГ В ОЦЕНКЕ РАСПРОСТРАНЕННОСТИ ЛИМФОМЫ ХОДЖКИНА

A. Э. Иванов, В. И. Амосов, В. П. Золотницкая

Первый Санкт-Петербургский государственный медицинский университет им. акад. И. П. Павлова,
Санкт-Петербург, Россия

GA-67 CITRATE SPECT AND 18-FDG PET/CT BENEFITS IN EVALUATION OF HODGKIN DISEASE SPREADING

A. E. Ivanov, V. I. Amosov, V. P. Zolotnickaja

Pavlov First St. Petersburg State Medical University, St. Petersburg, Russia

© Коллектив авторов, 2017 г.

Лимфома Ходжкина является злокачественным новообразованием лимфоидной ткани, на долю которого в возрасте от 15 до 24 лет приходится $\frac{1}{6}$ часть всех онкологических заболеваний. Цель исследования: оценить возможности методов однофотонной эмиссионной компьютерной томографии (ОФЭКТ) с цитратом галлия-67 и совмещенной позитронно-эмиссионной томографии (ПЭТ/КТ) с 18-ФДГ у больного с лимфомой Ходжкина. Результаты: ОФЭКТ не выявила пораженных шейных лимфатических узлов, которые были обнаружены при ПЭТ/КТ. Вывод: сцинтиграфия с цитратом ^{67}Ga должна предполагать выполнение ОФЭКТ всех областей интереса.

Ключевые слова: лимфома Ходжкина, ОФЭКТ с цитратом галлия-67, ПЭТ/КТ с 18-ФДГ.

Hodgkin disease is a malignancy of lymphoid tissue, at the age of 15 to 24 years it accounts for $\frac{1}{6}$ of all oncology disease. The aim of the study was to evaluate the benefits of single-photon emission computed tomography (SPECT) with citrate gallium-67 and combined positron emission tomography (PET/CT) with 18-FDG in a patient with Hodgkin disease. Results: SPECT detected no affected cervical nodes that were found with PET/CT. Conclusion: presented in this article SPECT technique is not suitable for studying this patient. Limitations of the methods for this case and opportunities for overcoming the limitations are discussed.

Key words: Hodgkin disease, Ga-67 citrate SPECT, 18-FDG PET/CT.

DOI: <http://dx.doi.org/10.22328/2079-5343-2017-1-98-103>

Введение. Лимфома Ходжкина относится к злокачественным новообразованиям лимфоидной ткани. Заболеваемость лимфомой Ходжкина составляет 4 случая на 100 000 человек в год. Лимфомы Ходжкина составляют примерно треть от общего числа лимфом. Среди всех онкологических процессов она составляет всего 0,5%; однако в возрасте 15–24 года на ее долю приходится уже $\frac{1}{6}$ всех онкологических заболеваний. В заболеваемости болезнью Ходжкина наблюдаются два возрастных пика: 15–35 лет и после 50–60 лет. Женщин страхают этим заболеванием примерно в 2 раза реже мужчин [1]. Диагноз лимфомы Ходжкина устанавливается только после биопсии пораженного лимфатического узла с обязательным обнаружением многоядерных клеток Рида–Штейнберга. Всем первичным больным лимфомой Ходжкина обязательно выполняют трепанбиопсию подвздошной кости — единственный способ подтвердить или исключить поражение костного мозга [2]. Для стадирования

лимфом применяются следующие виды медицинской визуализации: УЗИ всех групп периферических лимфатических узлов; компьютерная томография шеи, органов грудной клетки, брюшной полости и таза; остеосцинтиграфия (по показаниям); ОФЭКТ с цитратом галлия-67; ПЭТ/КТ с фтордезоксиглюкозой [3].

ОФЭКТ с галлия ^{67}Ga цитратом применяется для диагностики лимфом со второй половины XX века. Seabold и соавт. в 1976 г. сообщали о точности метода в 75%, причем в 20–25% случаев он давал информацию, не предоставленную другими методами [4]. Для повышения точности метода рекомендуется применять совмещенную ОФЭКТ/КТ технологию. Она позволяет точно локализовать участки гиперметаболизма РФП, тем самым изменения диагноз до 25% случаев по сравнению с одиночными КТ- и ОФЭКТ-исследованиями [5].

Хотя механизм накопления $^{67,68}\text{Ga}$ -цитрата в воспаленных тканях до конца не изучен, известно,

что после внутривенного введения цитратных комплексов галлия происходит реакция перелигандирования, и он связывается с трансферрином плазмы крови, подобно железу. Трансферрин же, в свою очередь, доставляет галлий в места воспаления и опухоль через высокопроницаемые стенки сосудов и трансферриновые рецепторы [6]. Препарат также избирательно накапливается в богатых лизосомами клетках, особенно в фагоцитах ретикулярной ткани [7]. Затем галлий высвобождается в клетках из-за связывания с лактоферрином, который накапливается в железистой ткани, что обуславливает физиологическое накопление РФП. После внутривенного введения препарат медленно выводится из кровотока. Максимальное накопление в костях и лимфатических узлах наступает через 1 день после введения, в печени и селезенке через 3–5 ч и остается на том же уровне до 48 ч, после чего медленно снижается. Таким образом, сканирование проводится через 72 ч после инъекции РФП. Элиминация медленная, почками, с фекалиями. При интерпретации изображений брюшной полости могут возникать артефакты, обусловленные радиоактивностью кишечника. Для очистки кишечника рекомендуется назначить слабительные средства в день, предшествующий исследованию [8].

Позитронно-эмиссионная томография (ПЭТ) также относится к методам радионуклидной диагностики. При ПЭТ используют РФП, меченные позитрон-излучающими короткоживущими изотопами. Их использование имеет два основных преимущества. Во-первых, метка этими изотопами не меняет химических свойств РФП, следовательно, их распределение в организме адекватно отражает функциональное состояние организма. Во-вторых, короткий период полураспада данных изотопов позволяет проводить многократные исследования [9].

Для диагностики лимфом методом ПЭТ применяется ^{18}F -фтордезоксиглюкоза (^{18}F -ФДГ). При обследовании больных злокачественными лимфомами перед ПЭТ ставятся задачи по определению стадии опухолевого процесса, оценке эффективности лечения, выявлению рецидивов заболевания при последующем наблюдении. ПЭТ имеет одинаковую специфичность с КТ при стадировании злокачественной лимфомы (99%), однако обладает значительно большей чувствительностью (92% и 65% соответственно). Еще одним преимуществом ПЭТ/КТ является возможность полу количественной оценки динамики терапии с использованием специальной шкалы Deauville. 1 балл — нет накопления; 2 балла — накопление в очаге меньше, чем в средостении; 3 балла — накопление в очаге больше, чем в средостении, но меньше, чем в печени; 4 балла — накопление в очаге умеренно больше, чем в печени; 5 баллов — накопление в очаге значительно больше, чем в печени [10]. После проведения курса полихимиотерапии при ПЭТ/КТ-исследова-

нии с 18-ФДГ у пациентов может возникать диффузное накопление препарата в пролиферирующем, активированном красном костном мозге [11].

Цель: возможности ОФЭКТ с цитратом GA-67 и ПЭТ/КТ с 18-ФДГ в оценке распространенности лимфомы Ходжкина.

Клинический случай. Пациент Ч., 1990 г. р., в апреле 2014 г. отметил появление болей в мышцах, ломоту в суставах, далее присоединилась лихорадка до 40° С, умеренный кожный зуд, увеличение подключичных лимфатических узлов с обеих сторон, сухой кашель. Пациенту выполнена компьютерная томография грудной полости, по результатам которой поставлен предположительный диагноз лимфомы Ходжкина. В мае 2014 г. пациенту выполнена эксцизионная биопсия левого шейного лимфатического узла, и согласно данным исследований поставлен диагноз лимфомы Ходжкина с поражением шейных лимфатических узлов и тимуса. С июня 2014 г. начал курс ПХТ. В ноябре 2014 г. проведен курс лучевой терапии на шейно-надключичную зону, область вилочковой железы и средостения суммарной дозой 38 Гр. При контрольной КТ в декабре 2014 г. отмечалось увеличение размеров образования средостения (вилочковая железа) до 76×29×30 мм, лимфатических узлов 6 группы (парааортальные) до 20 мм и 7 группы (бифуркационные) до 30 мм. Проведено ИГХ исследование первичного материала в декабре 2014 г., при котором определился иммунофенотип классической лимфомы Ходжкина. Проведено еще два курса ПХТ, которые пациент перенес удовлетворительно. С июня 2015 г. начали увеличиваться шейные лимфоузлы, лимфузел в области яремной вырезки, надключичные с обеих сторон. С описанными жалобами пациент обратился в ПСПБГМУ им. акад. И.П. Павлова, где в июле 2015 г. выполнена эксцизионная биопсия шейного лимфузела, проведено гистологическое исследование, при котором подтвердилась классическая лимфома Ходжкина, смешанно-клеточный вариант. С июля 2015 г. проведено 3 курса ПХТ, после чего в сентябре 2015 г. выполнено ПЭТ/КТ-исследование (впервые за время заболевания). По результатам обследования были выявлены признаки умеренной гиперплазии и различной метаболической активности (1–4 по Deauville) единичных лимфатических узлов шеи и аксилярных областей, метаболически активное образование переднего средостения, 3 степени по Deauville, высокая, очаговая метаболическая активность костного мозга, гепатомегалия (рис. 1–3).

В октябре 2015 г. выполняется трепанобиопсия, по результатам которой данных о поражении костного мозга не выявлено. В ноябре 2015 г. пациент проходит обследование для подготовки к высокодозной химиотерапии с последующей трансплантацией костного мозга. С целью оценки метаболической активности пораженных лимфатических узлов в ноябре 2015 г. пациенту выполняется сцинтиграфия всего тела и ОФЭКТ с цитратом ^{67}Ga . За 72 ч

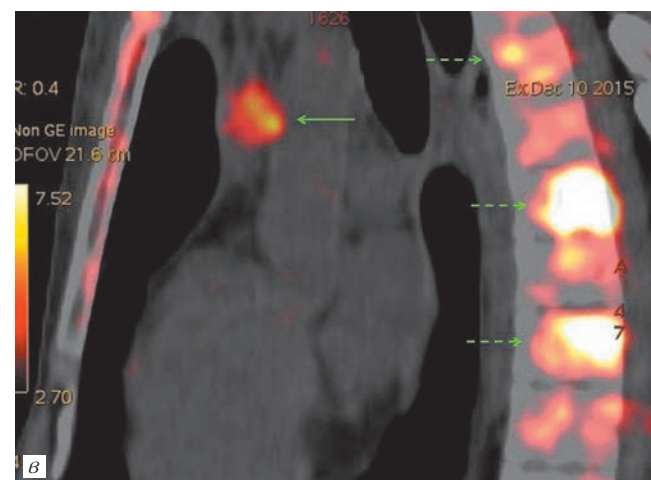
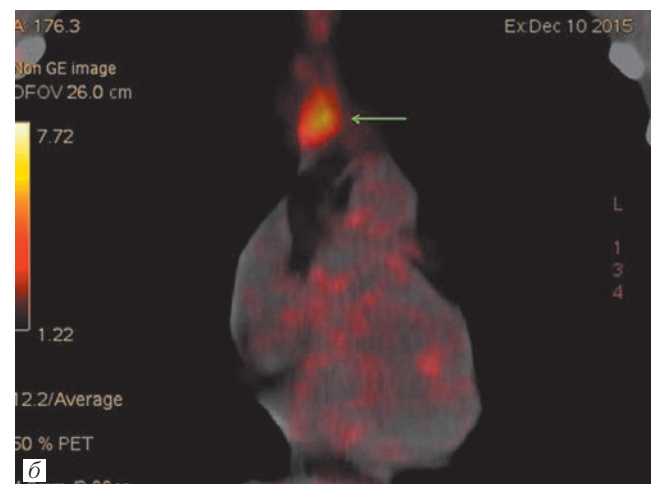
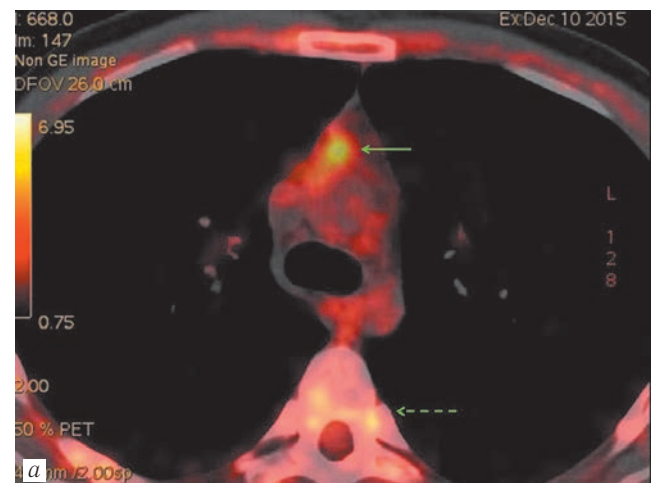
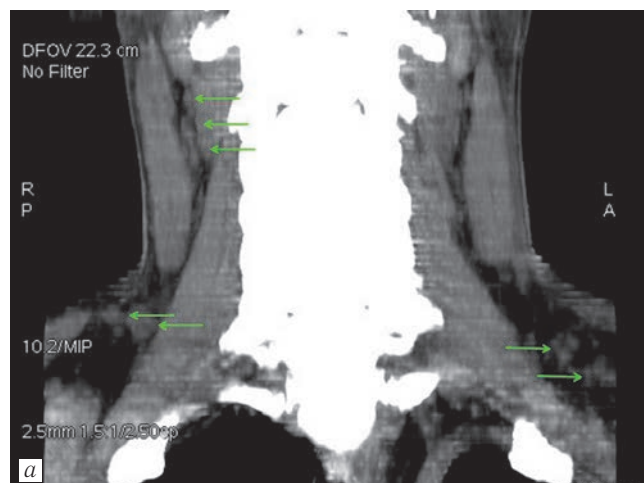
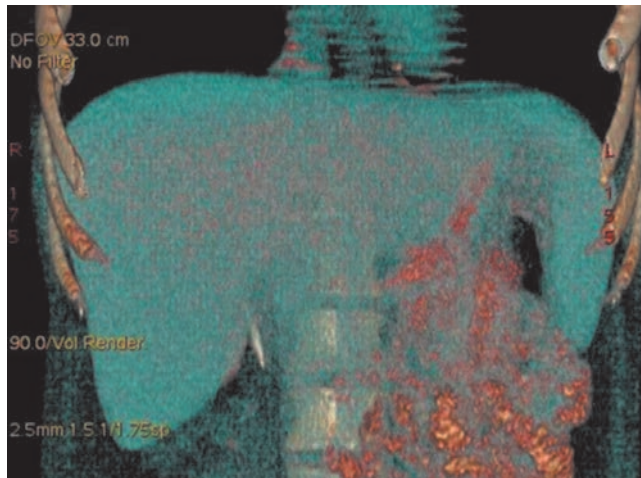


Рис. 1. ПЭТ/КТ-исследование шеи с 18-ФДГ. Фронтальная КТ-реконструкция, МИР (а), фронтальная реконструкция совмещенного ПЭТ/КТ-исследования, МИР (б), косая КТ-реконструкция, МИР (в). Определяются пакеты и отдельные увеличенные лимфатические узлы с обеих сторон, некоторые с признаками гиперметаболизма (указаны стрелками)

до сканирования пациенту введен РФП в дозе 142 МБк. Выполнен скан всего тела в передней и задней проекции от теменных костей до верхних третей бедер с использованием матрицы размером 64×64 . На полученных изображениях определялось активное накопление РФП в проекции верхнего средостения с градиентом накопления 1:1,5. Дополнительно для зоны выявленных изменений, т. е. для области грудной клетки была выполнена ОФЭКТ с использованием матрицы размером 64×64 , время регистрации 50 секунд на проекцию. Данные реконструировались в аксиальной, коро-

дальной и сагиттальной плоскости. В области переднего верхнего средостения определяется участок гиперметаболизма, по данным КТ — тимус (указан сплошной стрелкой). Также определяются участки гиперметаболизма в области грудных позвонков (указаны пунктирными стрелками)



нальной и сагиттальной плоскостях. По результатам ОФЭКТ исследования с ^{67}Ga дополнительных участков гиперметаболизма не выявлено, уточнена локализация очага гиперметаболизма, который локализовался в переднем отделе верхнего этажа средостения. Отмечалось физиологическое накопление препарата в паренхиме печени, а также гиперфиксация РФП в проекции головок плечевых костей и в грудных позвонках (рис. 4).

В результате проведенного исследования признаков гиперметаболизма в шейных лимфоузлах выявлено не было. С целью рестадирования больного по шкале Deauville в декабре 2015 г. пациенту выполнено повторное ПЭТ/КТ-исследование. По его результатам определялись шейные и надключичные лимфатические узлы с высокой метаболической активностью (4–5 по Deauville), а также образование в переднем верхнем средостении с умеренной метаболической активностью (3 по Deauville) и подмышечные лимфоузлы (3 по Deauville); высокая очаговая метаболическая активность костного мозга в зоне исследования, увеличение прежнего очага в левой подвздошной кости. Стоит отметить, что последнее, вероятнее всего, связано с трепанбиопсией этой области. Таким образом, по данным ПЭТ/КТ всего тела выявлена прогрессия заболевания. В связи с отрицательной динамикой решено провести высокодозную ПХТ по другой схеме. Проведено три курса ВДХТ, и по результатам ПЭТ/КТ всего тела от апреля 2016 г. признаков метаболической активности не обнаружено.

Результаты и их обсуждение. Данный клинический случай вызывает интерес с точки зрения возможностей различных методик в оценке распространения лимфомы Ходжкина. В приведенном клиническом случае при первом ПЭТ/КТ-исследовании помимо очагов в лимфатических узлах и в тимусе выявлены очаги и в костном мозге и данное заключение должно натолкнуть клинициста на мысль о его поражении, что переводит больного

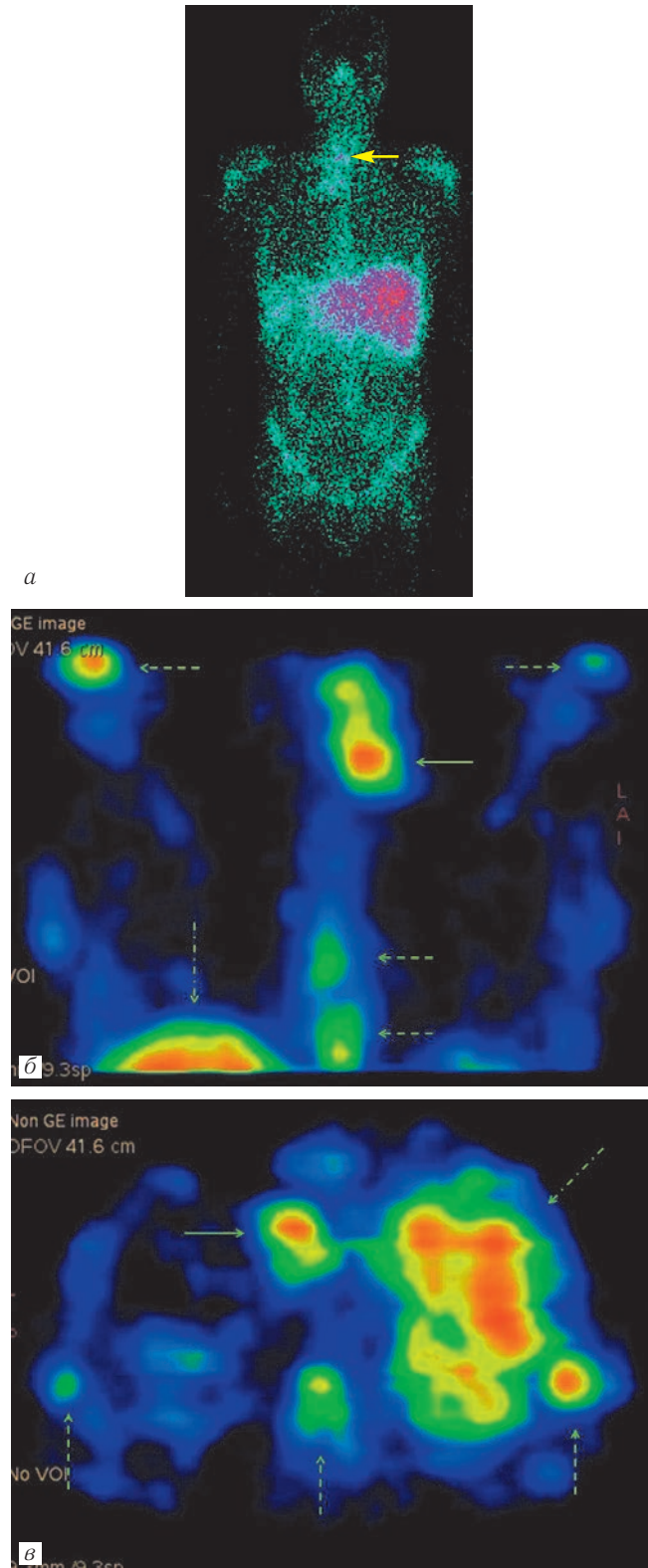


Рис. 4. Радионуклидное исследование с цитратом ^{67}Ga . Статическая сцинтиграмма в задней проекции (а), трехмерные реконструкции ОФЭКТ области грудной клетки: вид спереди (б) и сверху (в). Определяется физиологическое накопление РФП в слезных железах, в паренхиме печени (указано штрих-пунктирной стрелкой), определяется гиперфиксация РФП в проекции переднего верхнего средостения (указано сплошной стрелкой) и в проекции головок плечевых костей и грудных позвонков (указанные пунктирными стрелками). Отмечается незначительное накопление препарата в области шеи и в области подмышечных лимфатических узлов

в IV стадию по Ann Arbor и в корне меняет подход к пациенту. Однако следует принять во внимание тот факт, что это исследование было проведено после ПХТ. При биопсии подвздошной кости данных о поражении костного мозга получено не было. Зона биопсии выявлена при повторном ПЭТ/КТ-исследовании и трактована как «увеличение очага», хотя, по всей видимости, увеличение метаболизма в этой зоне было связано с постоперационными изменениями. Сцинтиграфия и ОФЭКТ зоны интереса с цитратом ^{67}Ga не выявили гиперфиксации препарата в проекции шейных лимфатических узлов, обнаруженных при ПЭТ/КТ, что могло быть связано с тем, что эту область оценивали по результатам сцинтиграфии всего тела (отмечено незначительное повышение накопления препарата) и не было

выполнено ОФЭКТ этой области. Результаты ОФЭКТ грудной полости полностью совпадают с результатами ПЭТ-КТ.

Выводы. Таким образом, сцинтиграфия с цитратом ^{67}Ga должна предполагать выполнение ОФЭКТ всех областей интереса, так как в представленном виде малоинформативна для исследования лимфом из-за своей низкой чувствительности. Несмотря на высокую точность метода ПЭТ/КТ в диагностике лимфом, к оценке поражения костного мозга необходимо подходить очень осторожно, с учетом клинико-анамнестических данных. При оценке очагов гиперметаболизма при ПЭТ/КТ-исследовании с ФДГ всегда необходимо проводить дифференциальную диагностику между опухолевыми и воспалительными изменениями.

ЛИТЕРАТУРА

1. Имянитов Е. Н. Эпидемиология и биология лимфомы Ходжкина // Практическая онкология.— 2007.— № 2 (8).— С. 53–56.
2. Kovrigina A. M. Лимфома Ходжкина и крупноклеточные лимфомы.— М.: МИА, 2007.— 216 с.
3. Алгоритмы диагностики и лечения злокачественных новообразований: сборник научных статей, выпуск 2 / под ред. О. Г. Суконко, С. А. Красного.— Минск: Профессиональные издания, 2012.— С. 457–464.
4. Seabold J. E. et al. Gallium citrate Ga 67 scanning: clinical usefulness in lymphoma patients // Arch. Intern. Med.— 1976.— № 136 (12).— P. 1370–1374.
5. Chajari M. et al. Gallium-67 scintigraphy in lymphoma: is there a benefit of image fusion with computed tomography? // Eur. J. Nucl. Med. Mol. Imaging.— 2002.— № 29 (3).— P. 380–387.
6. Лунёв А. С. и др. Экспериментальная оценка возможности применения радиофармацевтического препарата ^{68}Ga -цитрат для ПЭТ-визуализации воспалений // Саратовский научно-медицинский журнал.— 2014.— № 4 (10).— С. 776–781.
7. Амосов В. И. и др. Оценка активности саркоидоза по данным радиологических методов исследования микроциркуляции и метаболизма // Регионарное кровообращение.— 2013.— № 12 (1).— С. 53–57.
8. Большой справочник лекарственных средств / под ред. Л. Е. Зиганшиной, В. К. Лепахина, В. И. Петрова, Р. У. Хабриева.— М.: ГЭОТАР-Медиа, 2011.— С. 115–116.
9. Рудас М. С., Насникова И. Ю. Позитронно-эмиссионная томография в клинической практике: учебно-методическое пособие.— М., 2007.— 45 с.
10. Meignan M., Gallamini A., Haioun C. Report on the First International Workshop on Interim-PET-Scan in Lymphoma // Leuk Lymphoma.— 2009.— № 50.— С. 1257–1260.
11. Щербина О. В., Москалец А. И. Теоретические и клинические аспекты позитронной эмиссионной томографии // Онкология.— 2011.— № 13 (3).— С. 251–255.
12. Molin D. Bystander cells and prognosis in Hodgkin lymphoma. Review based on a doctoral thesis // Ups. J. Med. Sci.— 2004.— № 109.— P. 179–228.
13. Kuppers R., Hansmann M. L. The Hodgkin and Reed-Sternberg cell // J. Biochem. Cell. Biol.— 2005.— № 37.— P. 511–517.
14. Armitage J. O. Staging Non-Hodgkin Lymphoma // CA Cancer J. Clin.— 2005 — № 55.— P. 368–376.

REFERENCES

1. Imyanitov E. N., Prakticheskaya onkologiya, 2007, No. 2 (8), pp. 53–56.
2. Kovrigina A. M. Limfoma Hodzhkina i krupnokletchnye limfomy, Moscow: MIA, 2007, 216 p.
3. Algoritmy diagnostiki i lecheniya zlokachestvennyh novoobrazovanij: sbornik nauchnyh statej, vypusk 2, pod red. O. G. Sukonko, S. A. Krasnogo, Minsk: Professionalnye izdaniya, 2012, pp. 457–464.
4. Seabold J. E. et al., Arch. Intern. Med., 1976, No. 136 (12), pp. 1370–1374.
5. Chajari M. et al., Eur. J. Nucl. Med. Mol. Imaging, 2002, No. 29 (3), pp. 380–387.
6. Lunyov A. S. i dr., Saratovskij nauchno-medicinskij zhurnal, 2014, No. 4 (10), pp. 776–781.
7. Amosov V. I. i dr., Regionarnoe krovoobrashhenie, 2013, No. 12 (1), pp. 53–57.
8. Bolshoj spravochnik lekarstvennyh sredstv, pod red. L. E. Ziganshinoj, V. K. LepaHina, V. I. Petrova, R. U. Habrieva, Moscow: GEOTAR-Media, 2011, pp. 115–116.
9. Rudas M. S., Nasnikova I. Yu. Pozitronno-emissionnaya tomografija v klinicheskoy praktike: uchebno-metodicheskoe posobie, Moscow, 2007, 45 p.

10. Meignan M., Gallamini A., Haioun C., *Leuk Lymphoma*, 2009, No. 50, pp. 1257–1260.
11. Shherbina O. V., Moskalec A. I., *Onkologiya*, 2011, No. 13 (3), pp. 251–255.
12. Molin D., *Ups. J. Med. Sci.*, 2004, No. 109, pp. 179–228.
13. Kuppers R., Hansmann M. L., *J. Biochem. Cell. Biol.*, 2005, No. 37, pp. 511–517.
14. Armitage J. O., *Cancer J. Clin.*, 2005, No. 55, pp. 368–376.

Поступила в редакцию: 15.03.2017 г.

Контакт: Амосов Виктор Иванович, vikt-amosov@yandex.ru

Сведения об авторах:

Иванов Александр Эмилевич — аспирант кафедры рентгенологии и радиационной медицины ПСПбГМУ им. акад. И. П. Павлова; e-mail: a.ivanov@spbgmu.ru, тел.: +7 812 338-67-09;

Амосов Виктор Иванович — профессор, доктор медицинских наук, заведующий кафедрой рентгенологии и радиационной медицины ПСПбГМУ им. акад. И. П. Павлова; e-mail: vikt-amosov@yandex.ru, тел.: +7 812 338-63-12;

Золотницкая Валентина Петровна — кандидат медицинских наук, старший научный сотрудник НИИ пульмонологии, врач-радиолог радиологического отделения ПСПбГМУ им. акад. И. П. Павлова; e-mail: vikt-amosov@yandex.ru, тел.: +7 812 338-63-03.



РЕГИОНАЛЬНАЯ ОБЩЕСТВЕННАЯ ОРГАНИЗАЦИЯ «САНКТ-ПЕТЕРБУРГСКОЕ РАДИОЛОГИЧЕСКОЕ ОБЩЕСТВО»

Президиум региональной общественной организации «Санкт-Петербургское радиологическое общество» и Организационный комитет приглашают Вас принять участие в работе очередного Международного конгресса IX «Невский радиологический форум-2017».

Форум состоится в Санкт-Петербурге в период с 20 по 23 апреля 2017 года в конгрессно-выставочном центре Санкт-Петербурга «ЭКСПО-ФОРУМ» по адресу: Петербургское шоссе, 64/1.

Невский радиологический форум остается площадкой передовых идей, инноваций, демонстраций передовых достижений лучевой диагностики в нашей стране, ближнем зарубежье. Очередной форум будет сконцентрирован на обучении, для чего в рамках конгресса пройдет несколько школ по актуальным вопросам лучевой диагностики в различных областях клинической медицины. Будут приглашены ведущие спикеры из нашей страны и из других стран, имеющие наибольший опыт в данном направлении.

В рамках конгресса будут проводиться практические мастер-классы на оборудовании для лучевой диагностики, предлагаемом различными фирмами-производителями. В приоритете будут вопросы диагностики сердечно-сосудистых заболеваний, острого коронарного синдрома и инфаркта миокарда, нейрорадиологии, и прежде всего инсультов, воспалительных и опухолевых заболеваний головного мозга. Возможности гибридных, информационных технологий также найдут отражение в повестке дня заседаний форума. С программой можно будет ознакомиться на сайте www.spbra.ru.

Президент IX конгресса «Невский радиологический форум-2017»

Профессор

Фокин Владимир Александрович

Президент региональной общественной организации
«Санкт-Петербургское радиологическое общество»

Профессор

Черемисин Владимир Максимович